

# Direkter Nachweis für stabförmige Bauteile und Wände unter Längsdruck

Prof. Dr.-Ing. Erhard Gunkler  
Dipl.-Ing. Alice Becke

Nachweisverfahren  
Beispiel  
Vereinfachung der Verformungsberechnung  
Literatur

Juli 2003  
(überarbeitet 17.08.2004)

## 1 Nachweisverfahren

### 1.1 Allgemeines

- Nicht ein Ersatzstab, sondern das tatsächliche Tragwerk mit seinen Schnittgrößen und Verformungen wird betrachtet
- Nachweis nach Theorie II. Ordnung mit Berechnung der Stabauslenkungen  $v$  folgen aus Integration der Krümmungen  $\kappa$  (oder  $1/r$ ) über die Stablänge der Bauteile
- Einflüsse auf die Krümmung bzw. Verformung
  - o Lagerbedingungen
  - o Verlauf der Querschnittsgrößen von Beton und Betonstahl
  - o Verlauf der Normalkraft (Größe und Ausmitte)
- Das direkte Nachweisverfahren hat keine unmittelbare Querschnittsbemessung zum Ziel, da für die Berechnung der Momenten-Krümmungs-Beziehung der Betonstahlquerschnitt im Voraus bekannt sein muss. Es wird daher zwangsläufig eine iterative Berechnung des erforderlichen Betonstahlquerschnitts notwendig.

### 1.2 Besondere Hinweise für nichtlineare Verfahren nach DIN 1045-1 Abs. 5.2 und 8.5

Bei Anwendung nichtlinearer Verfahren zur Schnittgrößenermittlung (hier: Biegemomente, Verformungen) dürfen die Festigkeitswerte (rechnerische Mittelwert der Festigkeiten des Betons, des Betonstahls bzw. Spannstahls) mit einem einheitlichen Teilsicherheitsbeiwert für den Systemwiderstand  $\gamma_R = 1,3$  (ständige, vorübergehende Bemessungssituationen; Nachweis gegen Ermüdung) oder  $\gamma_R = 1,1$  (für außergewöhnliche Bemessungssituationen) berücksichtigt werden (s. a. DIN 1045-1, Abs. 8.6.1 (6)).

Die rechnerischen Mittelwerte der Festigkeiten lauten:

Beton:  $f_{cR} = 0,85 \cdot \alpha \cdot f_{ck}$  (bis C 50 / 60);  $\alpha = 0,85 \dots 1,0$

Betonstahl:  $f_{yR} = 1,1 \cdot f_{yk}$

Es ist dann:  $M_{Rd} = 1 / \gamma_R \cdot M (f_{cR}, f_{yR} \dots)$

### 1.3 Grundlagen der Schnittgrößen- und Verformungsberechnung nach all-gemeingültigen Verfahren

Für den Beton gilt die Spannungs-Dehnungs-Linie nach DIN 1045-1, Bild 22

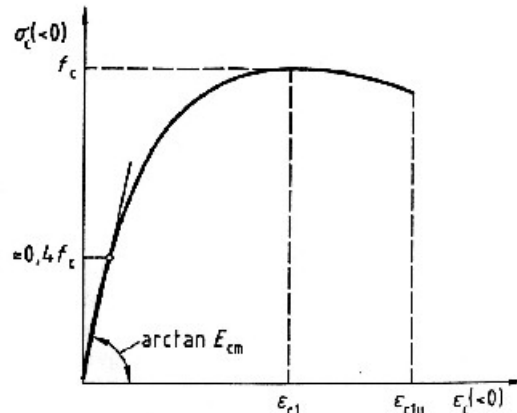


Bild 1: Spannungs-Dehnungs-Linie für die Schnittgrößenermittlung mit nichtlinearen Verfahren und für Verformungsberechnungen (Bild 22, DIN 1045-1)

Die Betonspannung errechnet sich aus:

$$\sigma_c = -f_c \cdot \left( \frac{k \cdot \eta - \eta^2}{1 + (k-2) \cdot \eta} \right)$$

$$\text{mit } \eta = \frac{\varepsilon_c}{\varepsilon_{c1}}; \quad k = -11 \cdot E_{cm} \cdot \varepsilon_{c1} / f_c \quad f_c = f_{cR} = 0,85 \cdot \alpha \cdot f_{ck}$$

Tab.1: Festigkeits- und Verformungswerte für Beton

Für	C 12/15	C 16/20	C 20/25	C 25/30	C 30/37	C 35/45	C 40/50	C 45/55	C 50/60 <sup>1)</sup>
$f_{cm}$	20	24	28	33	38	43	48	53	58
$E_{cm}$ [MN/m <sup>2</sup> ]	25.800	27.400	28.800	30.500	31.900	33.300	34.500	35.700	36.800
$\varepsilon_{c1}$ [mm/m]	-1,8	-1,9	-2,1	-2,2	-2,3	-2,4	-2,5	-2,55	-2,6

<sup>1)</sup> für höhere Festigkeitsklasse: Tabelle 9, DIN 1045-1

Die Bemessungswerte der Verformungen  $v_d$  dürfen abweichend von Abs. 1.2 auf der Grundlage von Bemessungswerten bestimmt werden, die auf den Mittelwerten der Baustoffkennwerte (z.B.  $f_{cm} / \gamma_c$ ;  $E_{cm} / \gamma_c$ ) basieren (DIN 1045-1, Abs. 8.6.1 (7)).

Es ist dann  $v_d = v(f_{cm} / \gamma_c, f_y / \gamma_s \dots)$

Für den Betonstahl gilt entweder Bild 26 oder vereinfachend Bild 27 von DIN 1045-1.

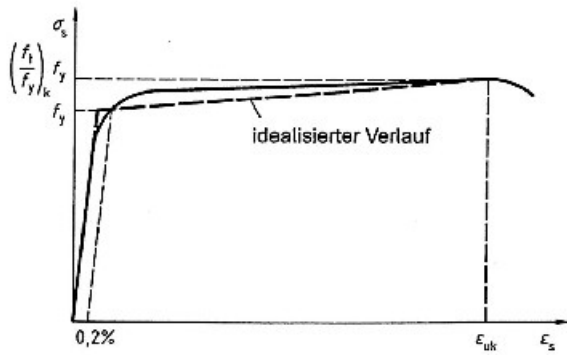


Bild 2:  
Spannung-Dehnungs-Linie für die Schnittgrößenermittlung (Bild 26)

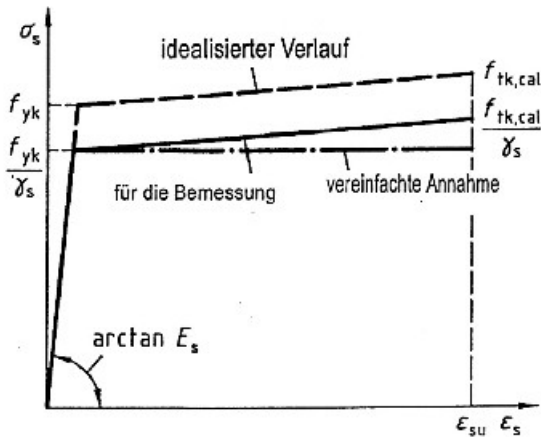


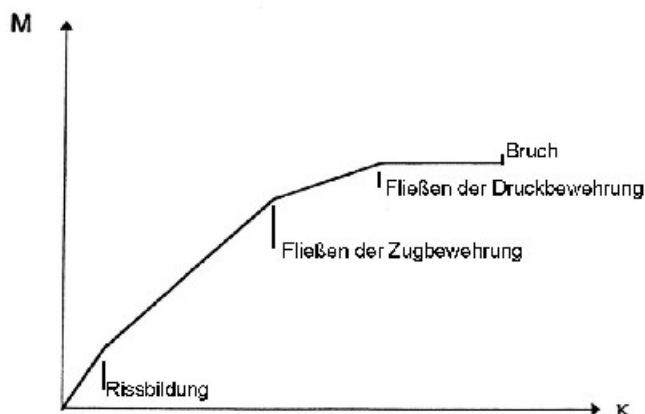
Bild 3:  
Spannung-Dehnungs-Linie für die Bemessung (Bild 27)  
 $f_y = f_{yR}$  rechnerischer Wert der Streckgrenze  
 $\gamma_s = \gamma_R$

E-Modul:  $E_s = 200.000 \text{ N/mm}^2$

Die Querschnitte bleiben auch nach der Verformung eben.

Mit diesen Grundlagen können für Querschnitte mit vorgegebener Bewehrung (Bewehrungsgehalt und -anordnung) und vorgegebener Normalkraft Momenten – Krümmungsbeziehungen formuliert werden.

Zusammenhang zwischen Krümmung und den Schnittgrößen wird durch die M - κ - Linie wiedergegeben (Bild 4).

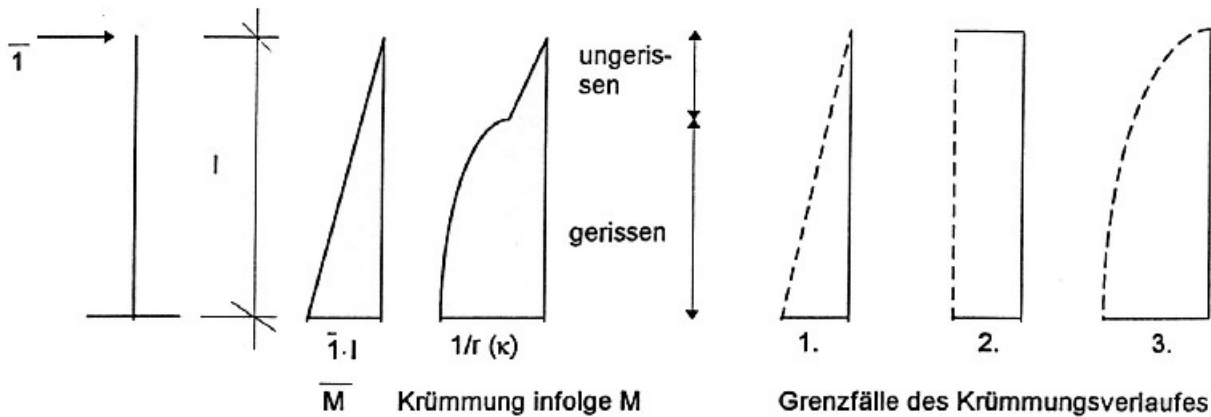


- » Rissbildung:  $\epsilon_{c1} \geq 0$
- » Fließen der Zugbewehrung:  $\epsilon_{s1} = \epsilon_{yd}$
- » Fließen der Druckbewehrung:  $\epsilon_{s2} = \epsilon_{yd}$
- » Bruch:  $\epsilon_{c2} = -3,5 \text{ ‰}$  und / oder  $\epsilon_{s1} \leq \epsilon_{uk}$   
 $\epsilon_{uk} = 25 \text{ ‰}$  (BSt 500 A)  
 $\epsilon_{uk} = 50 \text{ ‰}$  (BSt 500 B)

Bild 4: M - κ - Linie

Aus den Krümmungsverläufen über die Stabhöhe errechnet man mit dem Arbeitssatz die Verformungen  $v_d$ , die zusammen mit der ungewollten Ausmitte  $e_a$  und unter Berücksichtigung der Kriechverformung über den Faktor  $\alpha_c$  die Berechnung der Zusatzmomente infolge Bauteilverformungen  $\Delta M_{Ed} = |N_{Ed}| \cdot (\alpha_c \cdot v_d + e_a)$  und somit des Gesamtmomentes nach Theorie II. Ordnung erlauben.

Je nach Beanspruchungsart ergeben sich unterschiedliche Grenzfälle der Krümmungsverläufe (Bild 5).



1. Grenzfall: bei großer H-Kraft allein
2. Grenzfall: kleine H-Kraft, kräftige Stütze (kleine Ausmitte)  
sehr fein abgestimmte (abgestufte) Bewehrung
3. Grenzfall: schlanke Stütze (große Ausmitte)

Bild 5: Grenzfälle der Krümmungsverläufe

Ausreichende Tragsicherheit im Grenzzustand der Tragfähigkeit ist nachgewiesen, wenn an jeder Stelle des Tragwerks gilt:

$$M_{\text{tot}} = M_{Ed} + \Delta M_{Ed} \leq M_{Rd} \text{ und } |N_{Ed}| \leq |N_{Rd}|.$$

Dabei müssen verschiedene Einwirkungen in einem Lastfall betrachtet werden. Das Superpositionsgesetz ist nicht gültig.

## 1.4 Berechnungsablauf (schematisch)

### 1.4.1 Vorgaben

- i) statisches System
- ii) Belastung(en)
- iii) Betonquerschnitt
- iv) Materialkennwerte
- v) Bewehrungsquerschnitt  $A_s$  (geschätzt)

### 1.4.2 $M - \kappa$ - Linie

Sie ist aufzustellen für einen bestimmten Stützenquerschnitt mit vorgegebenen Baustoffeigenschaften und festgelegter Stabnormalkraft sowie Bewehrungsmenge.

Beim Stabilitätsnachweis von Stützen wird für die  $M - \kappa$  - Linie näherungsweise eine trilineare Kurvenverlauf angenommen (Bild 6):

- im Übergang von Zustand I nach Zustand II wirkt das Rissmoment  $M_{I,II}$  mit der zugehörigen Krümmung  $(1/r)_{I,II}$
- der Bereich oberhalb des Fließmomentes  $M_y$  bis zum Erreichen des rechnerischen Bruchmomentes  $M_u$  wird für den Stabilitätsnachweis nicht ausgenutzt

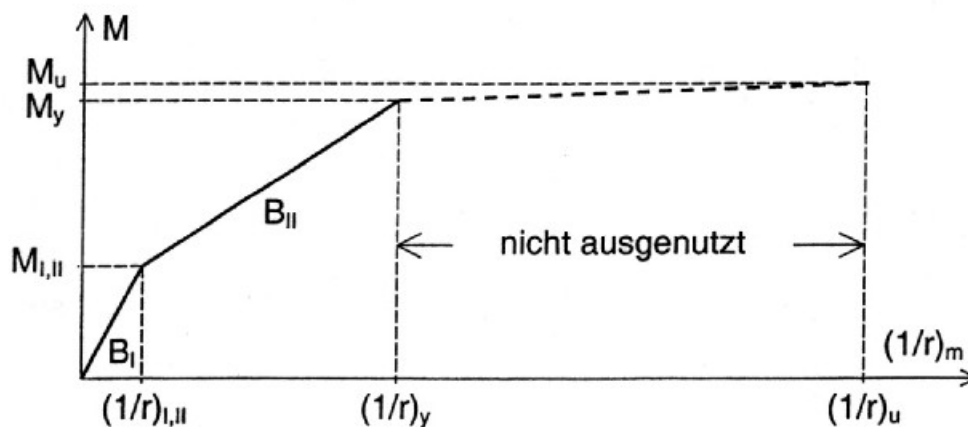


Bild 6: Trilineare  $M - \kappa$  - Linie

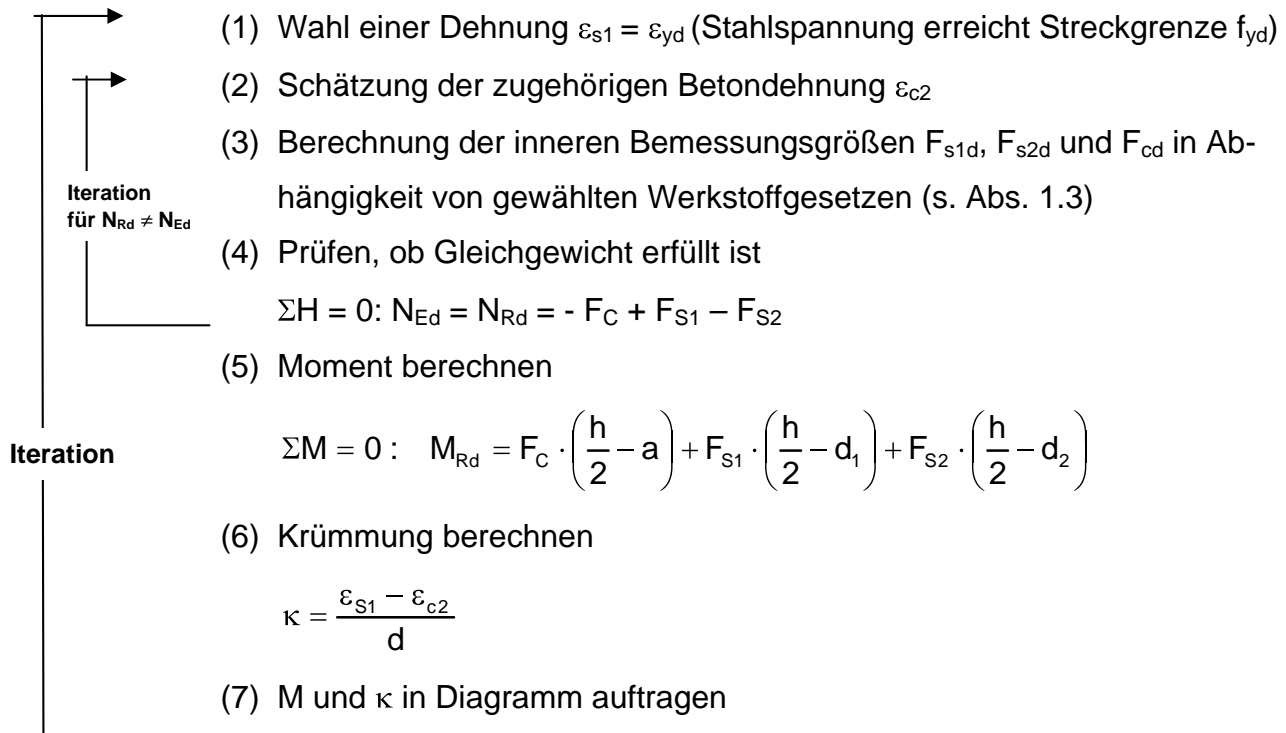
Mit den Querschnittswerten des reinen Betonquerschnitts und der Betonzug-

spannung  $\sigma_{ct} = \frac{f_{ctm}}{\gamma_c \text{ oder } \gamma_R}$  beträgt das Rissmoment

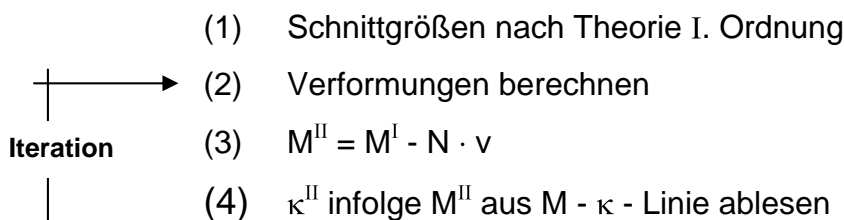
$$M_{I,II} = W_c \cdot \left( \frac{f_{ctm}}{\gamma_c \text{ oder } \gamma_R} - \frac{N_{Ed}}{A_c} \right)$$

Die Verwendung ideeller Querschnittswerte ist möglich.

Für einen Punkt der  $M - \kappa$  - Linie wird der Dehnungszustand iterativ so ermittelt, dass zwischen der aufzunehmenden Normalkraft  $N_{Ed}$  und den inneren Kräften Gleichgewicht besteht:



#### 1.4.3 Schnittgrößen nach Theorie II. Ordnung



#### 1.4.4 Nachweis

Das System ist stabil (im Gleichgewicht), wenn

$$v_{i+1} \leq v_i$$

und

$$M_{Ed} \leq M_y \quad (\text{aus } M - \kappa \text{ - Linie})$$

und

$$A_{S,erf.} \leq A_{S,vorh.} \quad (\text{mit } f_{ck} \text{ und } \gamma_c, \gamma_s; \text{ Bemessung im Bruchzustand})$$

Bei größeren Abweichungen (vor allem bei der Bewehrung) ist ggf. eine weitere Iteration oder sogar die Ermittlung einer neuen  $M - \kappa$  - Linie erforderlich (Wirtschaftlichkeit).

### 1.5 Berechnung der inneren Schnittgrößen

- Grenzdehnungen  $\epsilon_s = 25 ‰$  bzw.  $50 ‰$ ,  $\epsilon_c = -3,5 ‰$
- Spannungs – Dehnungs – Linie des Betons für Schnittgrößenermittlung
- Spannungs – Dehnungs – Linie des Betonstahls: bilinear
- Betonzugspannungen nicht berücksichtigen
- Stahldehnung:

$$\epsilon_{s2} = \epsilon_{s1} - (\epsilon_{s1} - \epsilon_{c2}) \cdot \frac{d - d_1}{d}$$

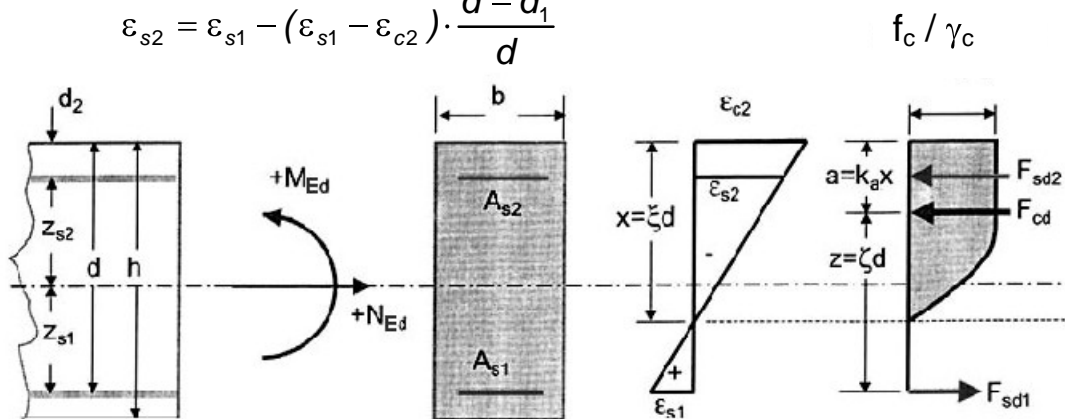
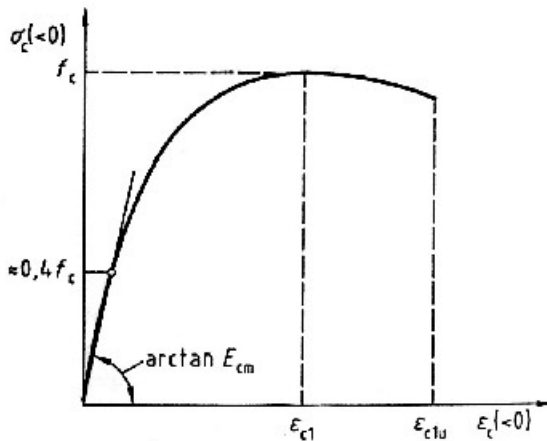


Bild 7: Bezeichnungen



$$f_c = f_{cR} = 0,85 \cdot \alpha \cdot f_{ck} \quad \text{bis C 50/60}$$

$$f_c = f_{cR} = \frac{0,85 \cdot \alpha \cdot f_{ck}}{\gamma'_C} \quad \text{ab C 55/67}$$

$$f_c = f_{cm} = f_{ck} + 8$$

Bild 8: Parabel – Rechteck-Diagramm für Schnittgrößenermittlung mit nichtlinearen Verfahren und für Verformungsberechnungen (DIN 1045-1, Bild 22)

- **Stahlzugkraft**

$$\sigma_{sd} = \epsilon_s \cdot E_s \quad \text{für } \epsilon_s < 0,002115 = \epsilon_{yd}; E_s = 200.000 \text{ MN/m}^2$$

$$f_{yR} = 550 \text{ MN/m}^2 \quad \epsilon_s \geq 0,002115 \quad f_{yR} / \gamma_R = 423 \text{ MN/m}^2$$

$$F_{sdi} = \sigma_{sd} \cdot A_{si} \text{ bzw. } f_{yRd} \cdot A_{si}$$

- Betondruckkraft

$$F_c = b \cdot \int_0^x \sigma_c(y) dy \quad \sigma_c = -f_{cR} \cdot \left( \frac{\frac{k}{\varepsilon_{c1}} \cdot \varepsilon_c - \frac{1}{\varepsilon_{c1}^2} \cdot \varepsilon_c^2}{1 + \frac{(k-2)}{\varepsilon_{c1}} \cdot \varepsilon_c} \right) \quad F_{cd} = F_c / \gamma_R$$

- Abstand der Betondruckkraft vom stärker gedrückten Rand

$$a = k_a \cdot x$$

$$k_a = 1 - \frac{b \cdot \int_0^x \sigma_c(y) \cdot y dy}{F_c \cdot x} = 1 - \frac{1}{\alpha_R \cdot \eta^2} \cdot \left( k \cdot Z_1 - \frac{Z_2}{(k-2)^4} \right)$$

- Völligkeitsbeiwert

$$\alpha_R = \frac{\int_0^x \sigma(y) \cdot b \cdot dy}{f_c \cdot b \cdot x} = \frac{k}{k-2} \cdot \left( 1 - \frac{\ln(N)}{N-1} \right) - \frac{Z_1}{\eta}$$

In den beiden oberen Gleichungen gilt:

$$k = 1,1 \cdot E_{cm} \cdot \varepsilon_{c1} / f_c \quad (f_c, \varepsilon_c \text{ negativ einsetzen})$$

$$N = 1 + (k-2) \cdot \eta \quad \eta = \varepsilon_c / \varepsilon_{c1}$$

$$Z_1 = \frac{1}{(k-2)^3} \cdot \left( \frac{N^2}{2} - 2 \cdot N + \ln(N) + 1,5 \right)$$

$$Z_2 = \frac{N^3}{3} - 1,5 \cdot N^2 + 3 \cdot N - \ln(N) - \frac{11}{6}$$

In den folgenden Bildern 9 - 14 sind die Gleichungen für  $\alpha_R$  und  $k_a$  ausgewertet und in Abhängigkeit der Betonstauchung dargestellt:

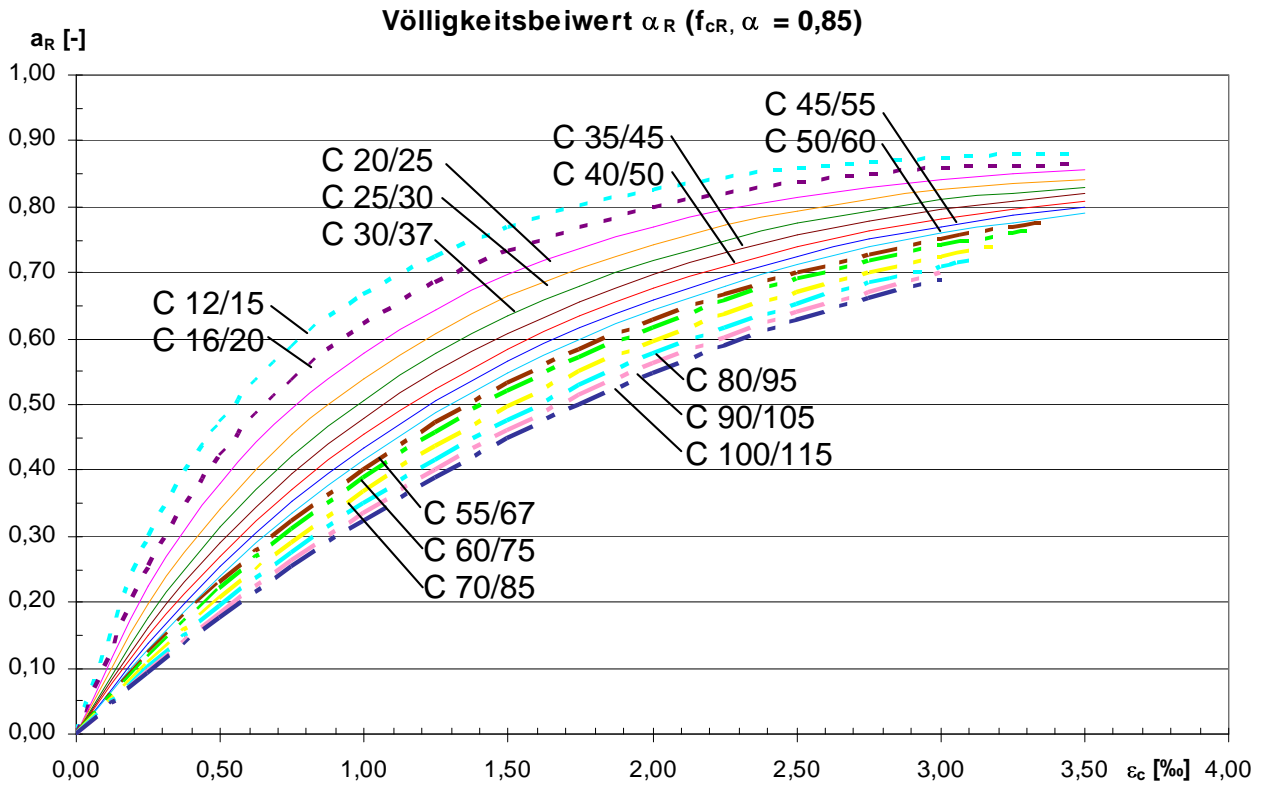


Bild 9: Hilfsdiagramm zur Ermittlung von  $\alpha_R$

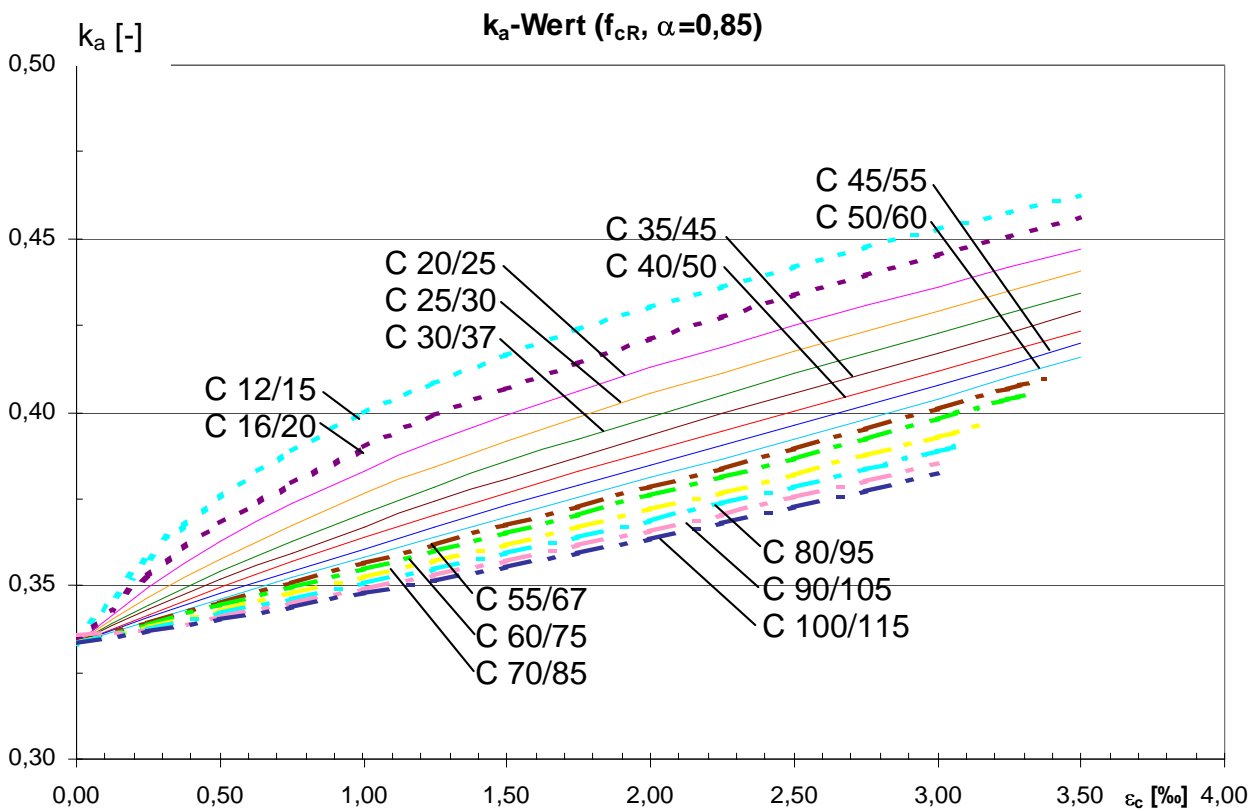


Bild 10: Hilfsdiagramm zur Ermittlung von  $k_a$

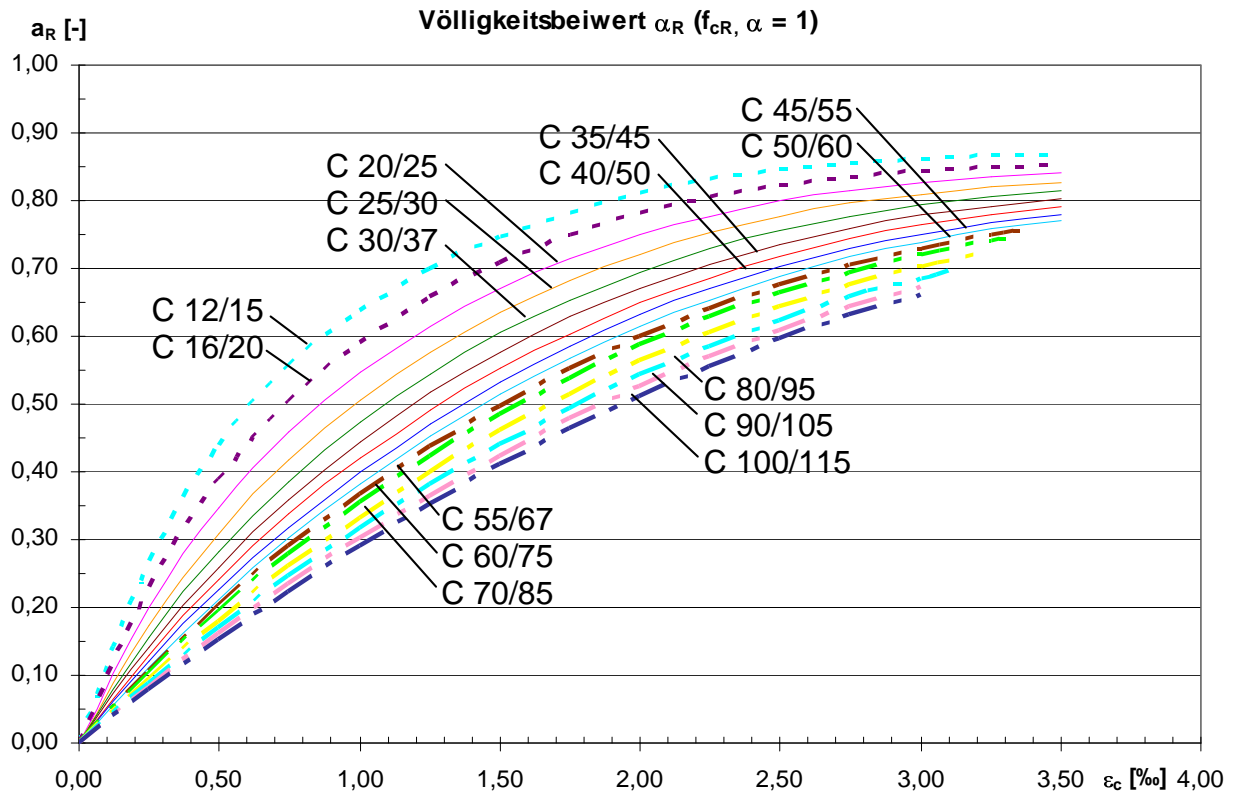


Bild 11: Hilfsdiagramm zur Ermittlung von  $\alpha_R$

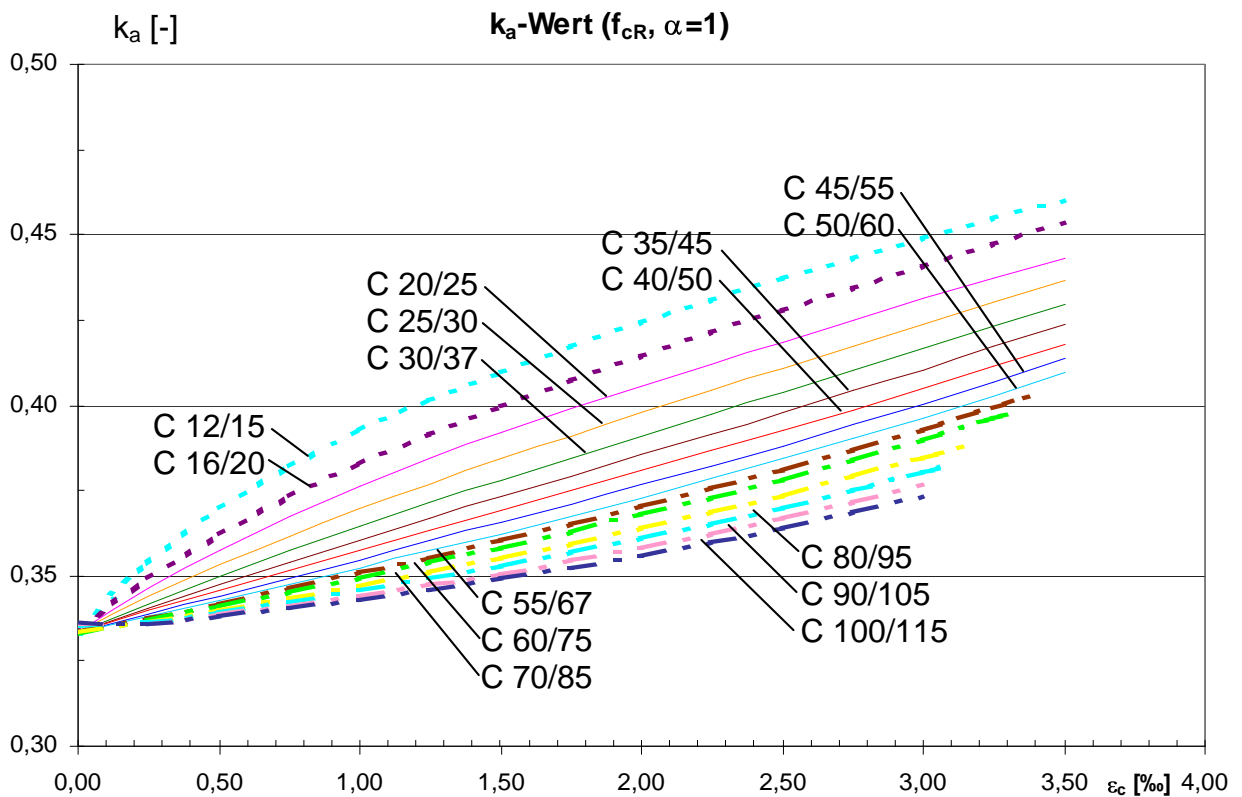


Bild 12: Hilfsdiagramm zur Ermittlung von  $k_a$

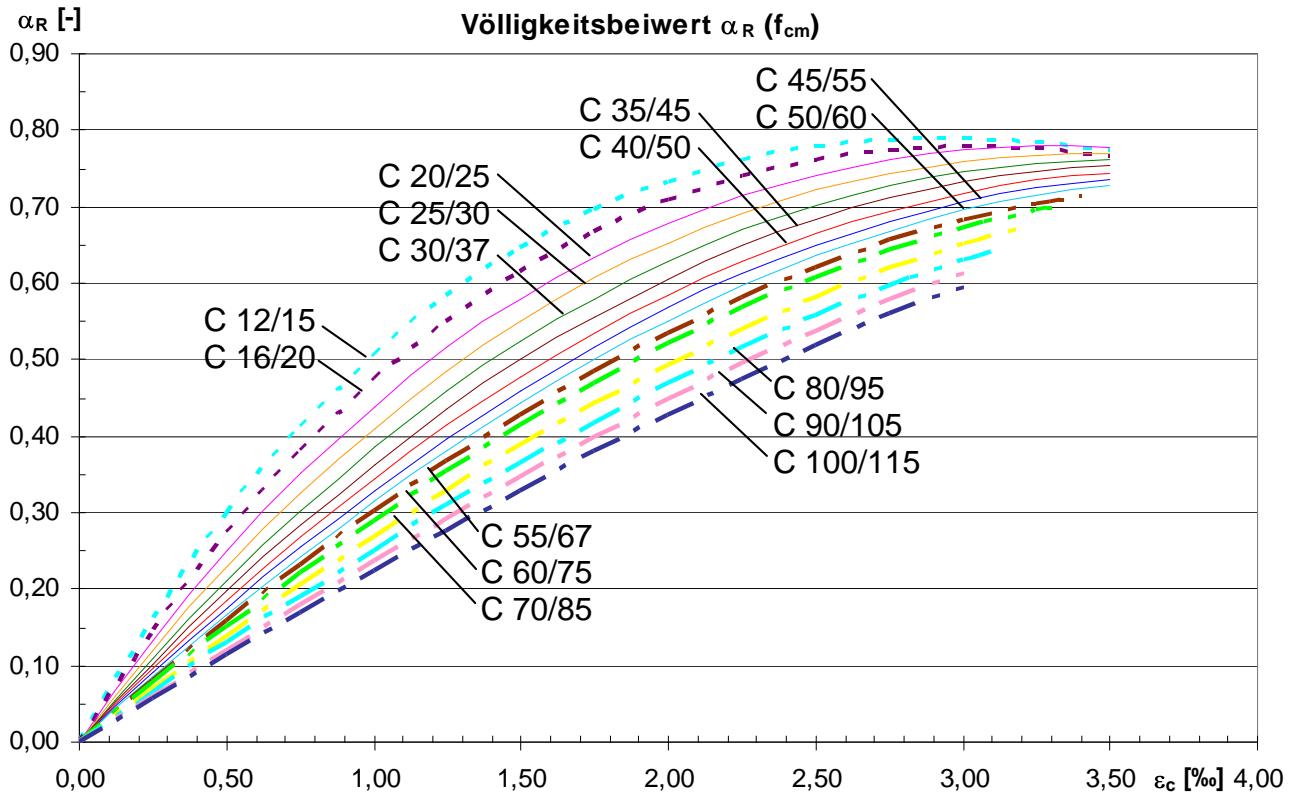


Bild 13: Hilfsdiagramm zur Ermittlung von  $\alpha_R$

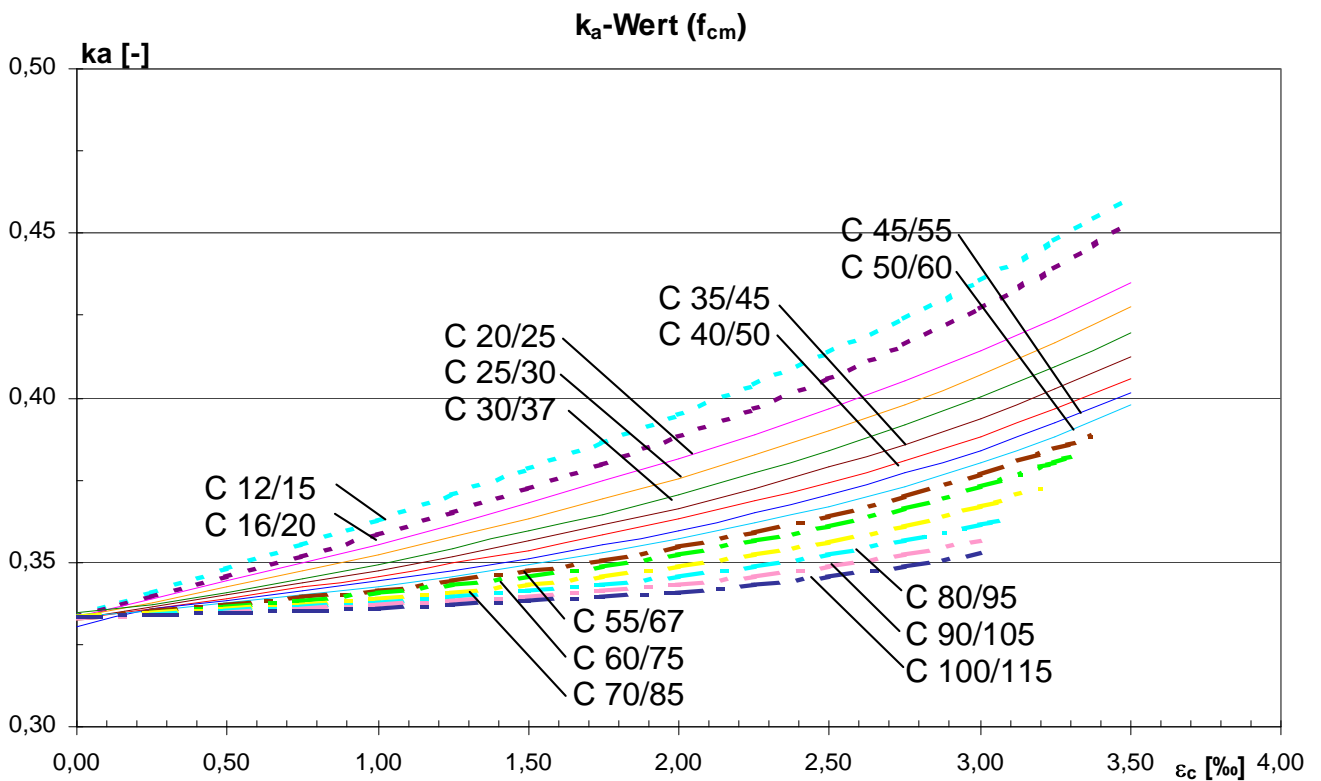
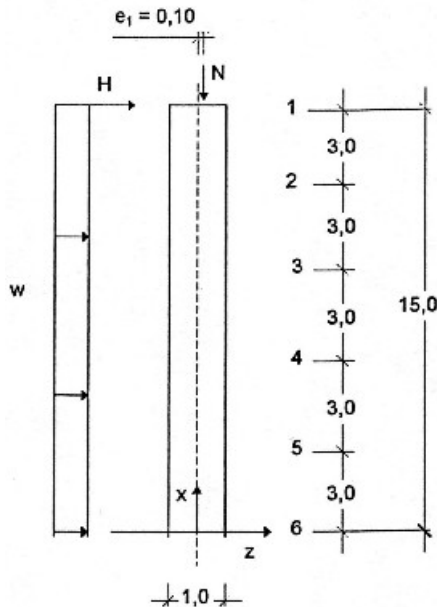


Bild 14: Hilfsdiagramm zur Ermittlung von  $k_a$

2 Beispiel

2.1 Aufgabenstellung

2.1.1 System



Die Bemessung soll mit rechnerischen Baustofffestigkeiten erfolgen!

Bild 15: System und Belastung

2.1.2 Belastung (einschließlich Teilsicherheitsbeiwerte)

$N_{Ed} = 7000 \text{ kN}$  (mit  $N_{gk} = 3500 \text{ kN}$ )      $H_{Ed} = 175 \text{ kN}$       $w_{Ed} = 0,9 \text{ kN/m}^2$

2.1.3 Querschnitte

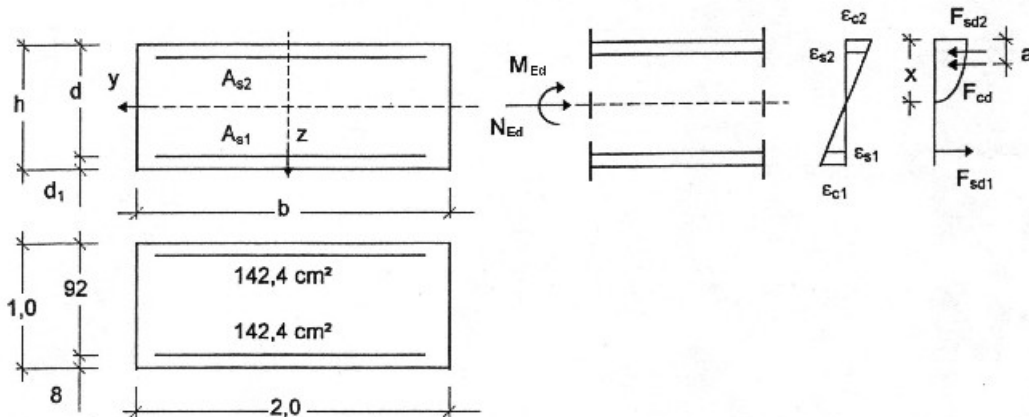


Bild 16: Querschnitt, Bewehrungsquerschnitt und Dehnungen

2.1.4 Materialkennwerte

C 30 / 37

BSt 500 S (A)

2.1.5 Bewehrungsquerschnitt

nach Modellstützenverfahren gewählt:  $A_s = 142,2 \text{ cm}^2$

## 2.2 M - κ - Linie (mit rechnerischen Mittelwerten: $f_{cR}$ und $\alpha = 0,85$ , $\gamma_R$ )

### 2.2.1 Zustand I: Ermittlung des Rissmomentes

ideelle Querschnittswerte

$$\alpha_E = \frac{E_s}{E_{cm}} = \frac{200.000}{31.900} = 6,270$$

$$A_i = 1,0 \cdot 2,0 + (\alpha_E - 1) \cdot (2 \cdot 142,2 \cdot 10^{-4}) = 2,150 \text{ m}^2$$

$$I_i = \frac{2,0 \cdot 1,0^3}{12} + (\alpha_E - 1) \cdot (2 \cdot 142,2 \cdot 10^{-4}) \cdot \left( \frac{1,0}{2} - 0,08 \right)^2 = 0,193 \text{ m}^4$$

Rissmoment:

$$M_{I,II} = \frac{I_i}{h/2} \cdot \left( \frac{f_{ctm}}{\gamma_R} - \frac{N_{Ed}}{A_i} \right) = \frac{0,193}{0,5} \cdot \left( \frac{2,9}{1,3} - \frac{-7,000}{2,150} \right) = 2,118 \text{ MNm}$$

$$\text{Betondehnung in der Zugzone: } (\varepsilon_{ct})_{I,II} = \frac{f_{ctm}}{E_{cm}} = \frac{2,9}{31.900} = 0,0909 \text{ ‰}$$

zugehörige Betonspannung in der Druckzone:

$$\sigma_{cc} = \frac{N_{Ed}}{A_i} - \frac{M_{I,II}}{W_c} = \frac{-7,000}{2,150} - \frac{2,118 \cdot 0,5}{0,193} = -8,743 \text{ MN/m}^2$$

Betondehnung in der Druckzone:

$$(\varepsilon_{cc})_{I,II} = \frac{\sigma_{cc}}{E_{cm} / \gamma_R} = \frac{-8,743}{31.900 / 1,3} = -0,3563 \text{ ‰}$$

Krümmung im Übergang Zustand I und Zustand II

$$\left( \frac{1}{r} \right)_{I,II} = \frac{\varepsilon_{ct} - \varepsilon_{cc}}{h} = \frac{0,0909 - (-0,3563)}{1,0} = 0,4472 \text{ ‰}$$

### 2.2.2 Zustand II: Wahl einer Dehnung $\varepsilon_{s1} = 2,115 \text{ ‰}$

(Streckgrenze gerade erreicht)

### 2.2.3 Schätzung der zugehörigen Dehnung $\varepsilon_{c2}$

$$\varepsilon_{c2} = -1,800 \text{ ‰}$$

## 2.2.4 Berechnung der inneren Größen

$$\varepsilon_{s2} = 2,115 - (2,115 + 1,800) \cdot \frac{0,92 - 0,08}{0,92} = -1,460 \text{ ‰}$$

$$F_{s1} = 550 / 1,3 \cdot 10^{-1} \cdot 142,4 = 6025 \text{ kN}$$

$$F_{s2} = -0,001460 \cdot 20.000 \cdot 142,4 = -4158 \text{ kN}$$

$$x = \frac{1,800}{2,115 + 1,800} \cdot 0,92 = 0,423 \text{ m}$$

Ablesung aus Diagramm ( $f_{cR}$  und  $\alpha_R = 0,85$ ):

$$\alpha_R = 0,69$$

$$\begin{aligned} F_{cd} &= \alpha_R \cdot b \cdot x \cdot 0,85 \cdot \alpha \cdot f_{ck} / \gamma_R \\ &= 0,69 \cdot 2,0 \cdot 0,423 \cdot 0,85 \cdot 0,85 \cdot \frac{30}{1,3} = 9,733 \text{ MN} \end{aligned}$$

## 2.2.5 Prüfen des Gleichgewichtes

$$N_{Rd} = 6025 - 4218 - 9733 = -7926 \text{ kN} \neq -7000 \text{ kN} = N_{Ed}$$

Die Verbesserung des Schätzwertes ergibt  $\varepsilon_{c2} = -1,694 \text{ ‰}$

und damit

$$N_{Rd} = 6025 - 3882 - 9142 = -7000 \text{ kN} = N_{Ed}$$

$$(x = 0,409 \text{ m})$$

## 2.2.6 Berechnung des Momentes

Ablesung aus Diagramm:

$$k_a \approx 0,39 \text{ und damit } a = 0,39 \cdot 0,41 = 0,160 \text{ m}$$

$$M_{Rd} = 9142 \cdot \left( \frac{1,0}{2} - 0,160 \right) + (6025 + 3882) \cdot \left( \frac{1,0}{2} - 0,08 \right) = \underline{\underline{7269,2 \text{ kNm}}}$$

## 2.2.7 Berechnung der Krümmungen

$$\kappa = \frac{0,002115 - (-0,001694)}{0,92} = \underline{\underline{0,004140 \text{ m}^{-1}}}$$

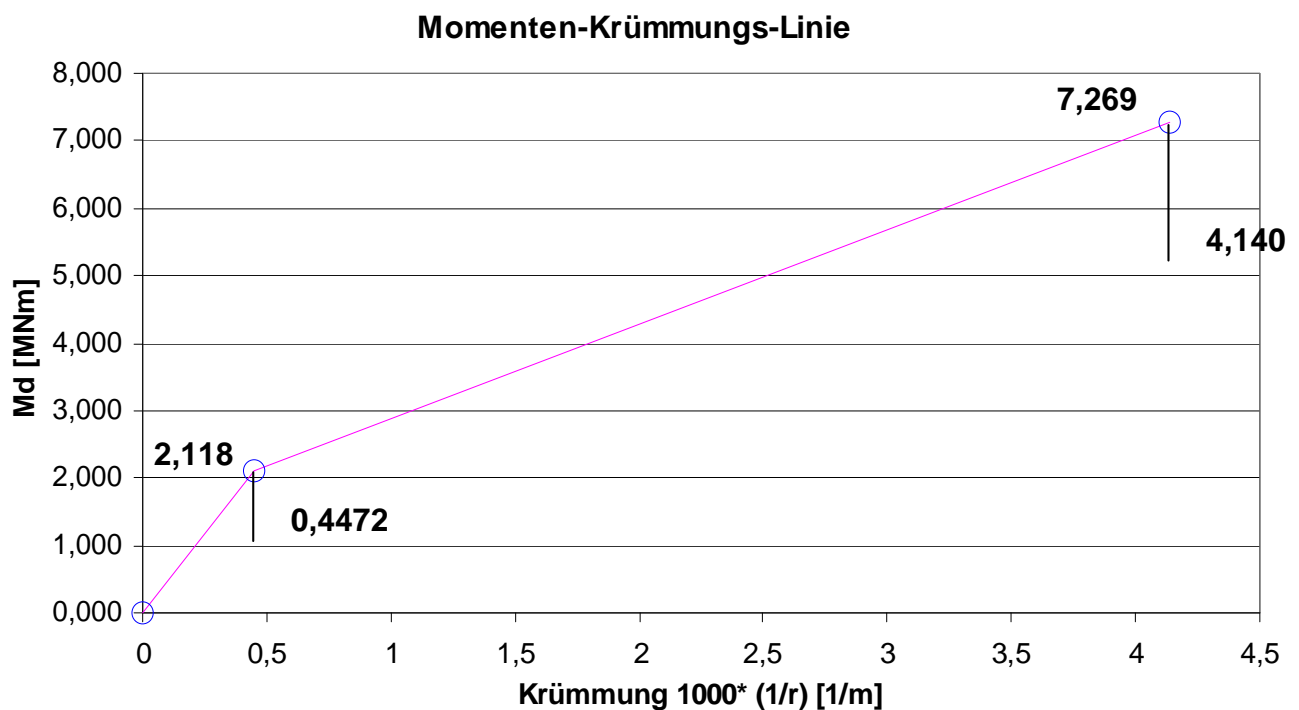


Bild 17: M - κ - Linie

Interpolationsformeln:

zwischen 0 und  $(1/r)_{I,II}$ :

$$\kappa = \left(\frac{1}{r}\right)_{I,II} \cdot \frac{M_d}{M_{I,II}} = M_d \cdot \frac{0,4472}{2,118} = 0,211 \cdot M_d \text{ [‰]}$$

zwischen  $(1/r)_{I,II}$  und  $(1/r)_y$ :

$$\begin{aligned} \kappa &= \left(\frac{1}{r}\right)_{I,II} + \frac{(M_d - M_{I,II}) \cdot \left(\left(\frac{1}{r}\right)_y - \left(\frac{1}{r}\right)_{I,II}\right)}{(M_y - M_{I,II})} \\ &= 0,447 + \frac{(M_d - 2,118) \cdot (4,140 - 0,447)}{(7,269 - 2,118)} \\ &= 0,447 + 0,717 \cdot (M_d - 2,118) \end{aligned}$$

## 2.3 Schnittgrößen nach Theorie II. Ordnung

### 2.3.1 Schnittgrößen nach Theorie I. Ordnung

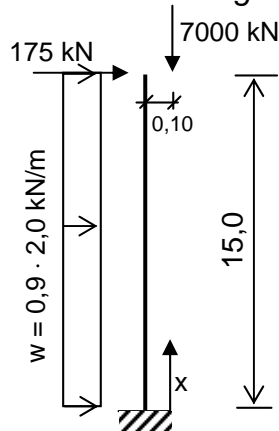


Bild 18: Statisches System und Belastung

$$M^I = 7000 \cdot 0,10 + 175 \cdot (l - x) + 0,9 \cdot 2,0 \cdot 0,5 \cdot (l - x)^2$$

### 2.3.2 Berechnung der Verformungen

#### i) Verformung nach Theorie I. Ordnung

$$v_{i+1} = \alpha_c \cdot v_i + e_a; \quad i = 0, 1, \dots \text{ (i-te Verformungsberechnung)}$$

$$v_1 = \alpha_c \cdot v_0 + e_a$$

#### ii) Verformung infolge Belastung

$v_0$ : Verformung infolge Belastung (einschließlich  $e_0$ , der planmäßigen Ausmitte am Kopf)

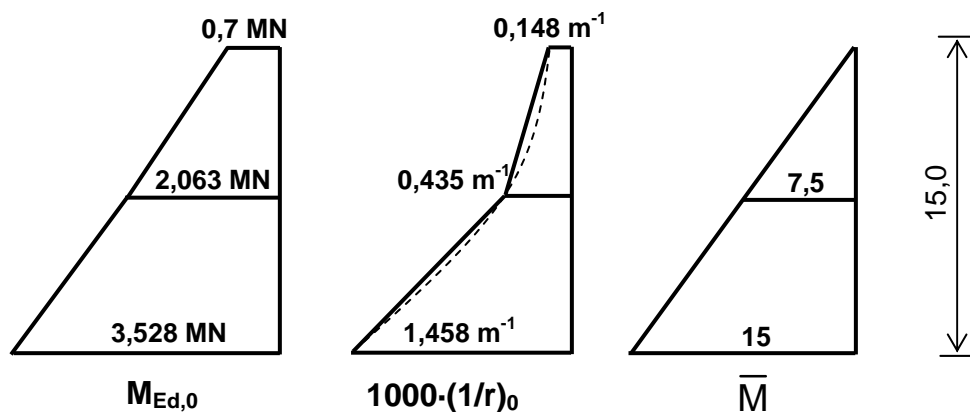


Bild 19: Momente und Krümmung infolge Belastung (Th. I. O.) und infolge Einheitslast

Ermittlung der Krümmungen aus  $M - \kappa$  - Linie interpoliert:

$$\kappa_0 = 0,148 \cdot 10^{-3} \text{ m}^{-1}$$

$$\kappa_m = 0,435 \cdot 10^{-3} \text{ m}^{-1}$$

$$\kappa_u = 1,458 \cdot 10^{-3} \text{ m}^{-1}$$

Berechnung von  $v_0$ :

$$v_0 = \int \frac{M \cdot \bar{M}}{EI} dx = \int \left( \frac{1}{r} \right) \cdot \bar{M} dx$$

Tab.2: Anwendung der Integraltafeln

Flächen	Abschnittslänge [m]	Randwerte				Auswertung [v <sub>0</sub> · 1000 m]
		M <sub>i</sub>	M <sub>k</sub>	$\overline{M}_i$	$\overline{M}_k$	
Dreieck mit Trapez	7,50	0	7,5	0,148	0,435	9,5438
Dreieck mit Trapez	7,50	0	7,5	0,435	1,458	31,4156
Rechteck mit Trapez	7,50	7,5	7,5	0,435	1,458	53,2406
<b>Summe</b>						<b>94,2000</b>

$$v_0 = 0,094 \text{ m}$$

Bei näherungsweise Integration durch Anwendung der „Simpsonschen Regel“ (Annahme eines parabelförmigen Krümmungsverlaufes über die Stablängsachse) ergibt sich  $v_0 = 0,087 \text{ m}$ . Im Folgenden wird mit dem Ergebnis der Simpsonschen Regel weitergerechnet.

iii) ungewollte Ausmitte

$$e_a = \alpha_{a1} \cdot \frac{1}{2} \cdot l_0$$

$$\text{mit } \alpha_{a1} = \frac{1}{100\sqrt{l}} \leq \frac{1}{200}$$

$$\alpha_{a1} = \frac{1}{100\sqrt{15}} = \frac{1}{387} < \frac{1}{200}$$

$$e_a = \frac{1}{387} \cdot \frac{(2,2 \cdot 15)}{2} = 0,043 \text{ m}$$

iv) Ausmitte infolge Kriechen

Näherungsweise erfolgt die Berücksichtigung des Kriechens durch Vergrößerung der Verformung  $v_i$  um den Faktor

$$\alpha_c = \left( 1 + \frac{M_{Ed,c}}{M_{Ed,1}} \right)$$

$M_{Ed,c}$  kriecherzeugendes Moment infolge quasi-ständiger Einwirkungen (charakteristischer Wert der ständigen Einwirkungen)

$M_{Ed,1}$  Moment infolge äußerer Lasten und ungewollter Schiefstellung

$$M_{Ed,1} = N_{Ed} \cdot e_1$$

$$e_1 = \frac{M_{Ed,0}}{N_{Ed}} + e_a = \frac{3,528 \text{ MNm}}{7,0 \text{ MN}} + 0,043 \text{ m} = 0,547 \text{ m}$$

$$M_{Ed,1} = 7000 \text{ kN} \cdot 0,547 \text{ m} = 3829 \text{ kNm}$$

$$M_{Ed,c} = N_{gk} \cdot e_0 = 3500 \text{ kN} \cdot 0,10 \text{ m} = 350 \text{ kNm}$$

Faktor zur Berücksichtigung des Kriechens:

$$\alpha_c = \left( 1 + \frac{350}{3829} \right) = \underline{\underline{1,09}}$$

Gesamtausmitte:

$$v_1 = \alpha_c \cdot v_0 + e_a = 1,09 \cdot 0,087 \text{ m} + 0,043 \text{ m} = 0,138 \text{ m}$$

### 2.3.3 Momente nach Theorie II. Ordnung

$$M^{II} = M_0 + \Delta M = M_0 + N_{Ed} \cdot (\alpha_c \cdot v_0 + e_a)$$

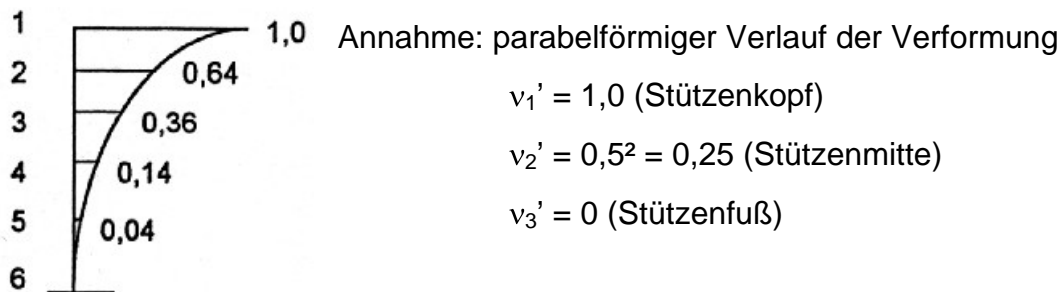


Bild 20: Annahme für Verformung

Zusatzmomente:

$$\Delta M_{i,j} = N_{Ed} \cdot (v_1' - v_j') \cdot v_1$$

$$M_{d,oben,1}^{II} = 0,700 + 7,000 \cdot (1,0 - 1,0) = 0,700 \text{ MNm}$$

$$M_{d,mitte,1}^{II} = 2,063 + 7,000 \cdot (1,0 - 0,25) \cdot 0,138 = 2,788 \text{ MNm}$$

$$M_{d,unten,1}^{II} = 3,528 + 7,000 \cdot (1,0 - 0) \cdot 0,138 = 4,494 \text{ MNm}$$

Verformungen:

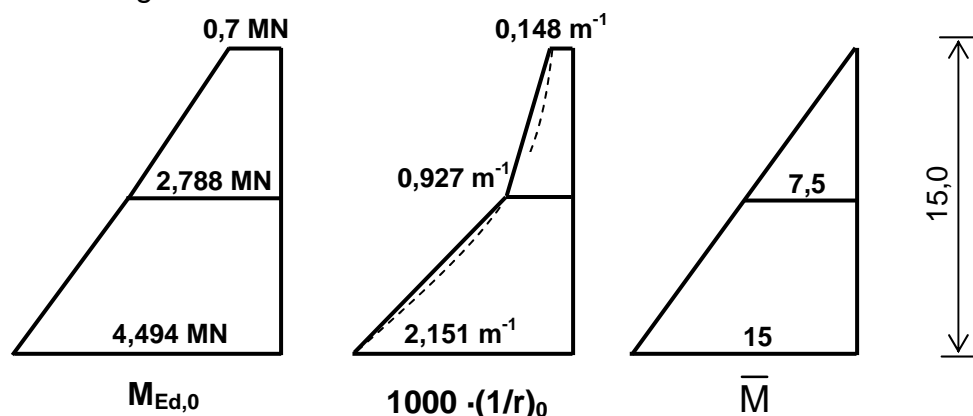


Bild 21: Momente und Krümmung infolge Belastung (Th. II. O.) und infolge Einheitslast

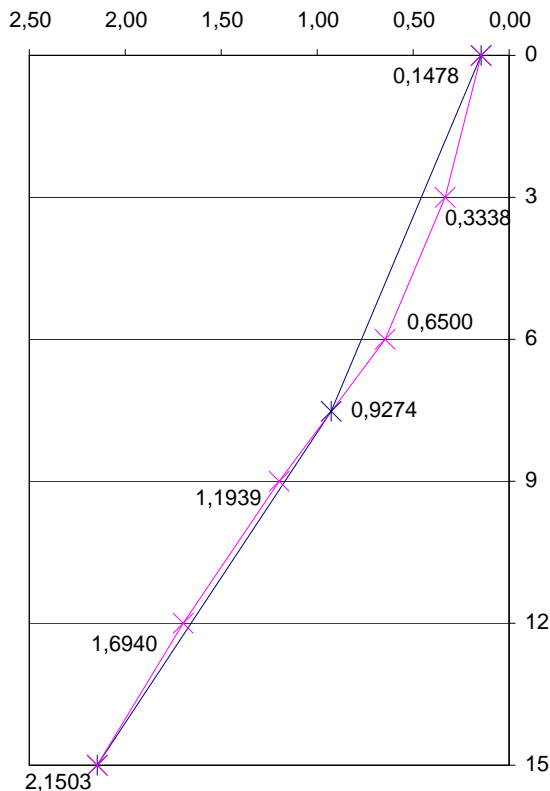
Näherungsweise Integration mit Simpsonscher Regel bzw. Fassregel:  
 $h = (b-a) / n = (15-0) / 2 = 7,5$

$$v_2 \approx \frac{h}{3} \cdot (\bar{M}_o \cdot \kappa_o + 4\bar{M}_m \cdot \kappa_m + \bar{M}_u \cdot \kappa_u) = \frac{l^2}{6} \cdot (2 \cdot \kappa_m + \kappa_u)$$

$$v = 15^2 / 6 \cdot [2 \cdot 0,927 + 2,151] \cdot 10^{-3} = 150,188 \cdot 10^{-3}$$

$$v = 0,150 \text{ m} > 0,138 \text{ m}$$

(numerische Integration mit mehr Stützstellen:  $v_1 = 0,153 \text{ m}$ )



neue Iteration erforderlich!!

$$v_2 = 1,09 \cdot 0,153 + 0,043 \\ = \underline{0,210 \text{ m}}$$

Bild 22: Darstellung der Krümmungen  
 (abweichende Werte wegen Berechnung mit ungerundeten Werten)

$$M_{d,oben,2}^{II} = 0,700 + 7,000 \cdot (1,0 - 1,0) = 0,700 \text{ MNm}$$

$$M_{d,mitte,2}^{II} = 2,063 + 7,000 \cdot (1,0 - 0,25) \cdot 0,210 = 3,166 \text{ MNm}$$

$$M_{d,unten,2}^{II} = 3,528 + 7,000 \cdot (1,0 - 0) \cdot 0,210 = 4,998 \text{ MNm}$$

zugehörige Krümmungen aus M - κ - Linie:

$$\kappa_{oben,2} = 0,148 \cdot 10^{-3} \text{ m}^{-1}$$

$$\kappa_{mitte,2} = 1,198 \cdot 10^{-3} \text{ m}^{-1}$$

$$\kappa_{unten,2} = 2,512 \cdot 10^{-3} \text{ m}^{-1}$$

$$v = 15^2 / 6 \cdot [2 \cdot 1,198 + 2,512] \cdot 10^{-3} = 184,050 \cdot 10^{-3}$$

$$v = \underline{0,184 \text{ m}}$$

(numerische Integration mit mehr Stützstellen:  $v = 0,186 \text{ m}$ )

$$v_3 = 1,09 \cdot 0,186 + 0,043 = \underline{0,246 \text{ m}}$$

Momente nach Theorie II. Ordnung für nächsten Iterationsschritt:

$$M_{d,oben,3}^{II} = 0,700 + 7,000 \cdot (1,0 - 1,0) = 0,700 \text{ MNm}$$

$$M_{d,mitte,3}^{II} = 2,063 + 7,000 \cdot (1,0 - 0,25) \cdot 0,246 = 3,355 \text{ MNm}$$

$$M_{d,unten,3}^{II} = 3,528 + 7,000 \cdot (1,0 - 0) \cdot 0,246 = 5,250 \text{ MNm}$$

Momentenzuwachs am Stützenfuß gegenüber vorherigem Schritt:

$$\Delta M = \frac{5,250 - 4,998}{4,998} \cdot 100 = 5,04\%$$

Nach abgeschlossener Iteration (5 weitere Schritte) ergibt sich:

$$\underline{v_6 = e_{tot} = 0,281 \text{ m}} \quad (\text{mit } \Delta M = 0,1 \%)$$

endgültige Momente Theorie II. Ordnung:

$$M_{d,oben,6}^{II} = 0,700 \text{ MNm}$$

$$M_{d,mitte,6}^{II} = 3,538 \text{ MNm}$$

$$\underline{M_{d,unten,6}^{II} = 5,495 \text{ MNm}}$$

## 2.4 Nachweis, erforderliche Bewehrung

Vereinfacht wird das Interaktionsdiagramm für einfach symmetrische Bewehrungsanordnung verwendet, unter Berücksichtigung des einheitlichen Teilsicherheitsbeiwertes  $\gamma_R = 1,3$  zur Berechnung der bezogenen Schnittgrößen  $\mu_{Ed}$  und  $v_{Ed}$ :

$$v_{Ed} = \frac{-7,000}{2,0 \cdot 1,0 \cdot \left( \frac{0,85 \cdot 30}{1,3} \right)} = -0,178$$

$$\mu_{Ed} = \frac{5,494}{2,0 \cdot 1,0^2 \cdot \left( \frac{0,85 \cdot 30}{1,3} \right)} = 0,140 \quad \Rightarrow \omega_{tot} = 0,18$$

(Interaktionsdiagramm,  $d_1 / h = 0,1$ )

$$\text{erf. } A_{s,tot} = 0,18 \cdot 100 \text{ cm} \cdot 200 \text{ cm} \cdot \frac{0,85 \cdot 30}{550} = 167,0 \text{ cm}^2 < \underline{\underline{2 \cdot 142,4 \text{ cm}^2}}$$

Nachweis erfüllt!!

## 2.5 Aufnehmbares Moment ( $M_y$ aus $M - \kappa$ - Linie)

$$\underline{M_{Rd} = M_y = 7,269 \text{ MNm} > 5,494 \text{ MNm}}$$

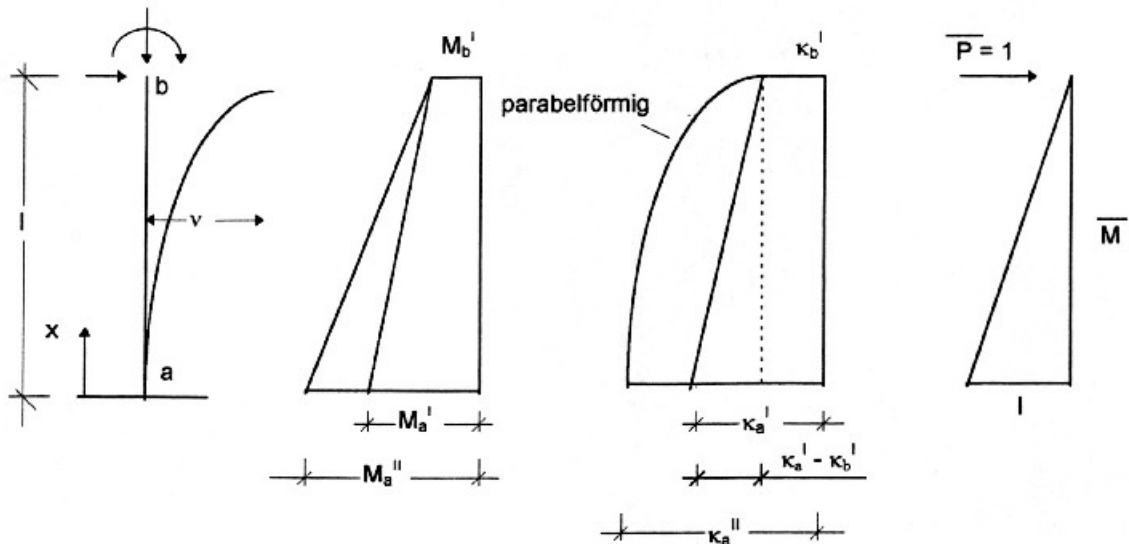
Nachweis erfüllt!!

### 3 Vereinfachung der Verformungsberechnung

#### 3.1 Vorgaben und Berechnungsalgorithmen

Die Momenten - Krümmungsbeziehung muß vorhanden sein.

Annahme: parabelförmiger Krümmungsverlauf



$$M_a^{II} = M_a^I - N \cdot v \quad (N \text{ als Druckkraft negativ})$$

$$v = \int \kappa \cdot \bar{M} \, dx$$

$$v = \frac{l^2}{12} \cdot [5 \cdot \kappa_a^{II} - \kappa_a^I + 2 \cdot \kappa_b^I]$$

$$\kappa_a^{II} \text{ aus } M_a^I, \kappa_b^I \text{ aus } M_b^I$$

$$\kappa_a^{II} = \kappa_a^I \quad (1. \text{ Schritt})$$

$$v_1^{II}, \Delta M_a = N \cdot v^{II}, M_{a,1}^{II} = M_a^I + \Delta M_a \text{ berechnen}$$

$$\Rightarrow \kappa_a^{II}$$

$$v_2^{II}, \Delta M_a, M_{a,2}^{II}, \Delta_{1,2} = \frac{M_{a,2}^{II} - M_{a,1}^{II}}{M_{a,1}^{II}} \cdot 100 \text{ [\%]}$$

Iteration beendet, wenn „Schranke“ einen Grenzwert unterschreitet, z.B.

$$\Delta_{i,i+1} < 0,1 \text{ [\%]}.$$

### 3.2 Anwendung für das Beispiel

#### 1. Schritt:

Krümmungen und Momente infolge äußerer Lasten (S. 18):

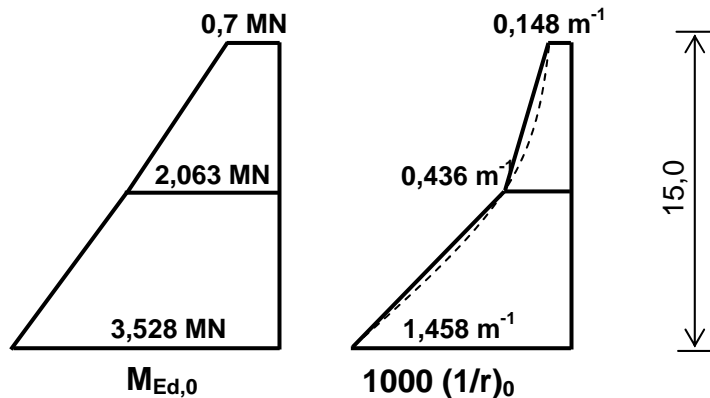


Bild 23: Momente und Krümmung infolge Belastung

Berechnung von  $v_0$  nach obiger Formel:

$$v = \frac{l^2}{12} \cdot (5\kappa_a^{\text{II}} - \kappa_a^{\text{I}} + 2\kappa_b^{\text{I}}) \text{ mit } \kappa_a^{\text{I}} = \kappa_a^{\text{II}} = 1,458 \text{ ‰}$$

$$v_0 = \frac{l^2}{12} \cdot (4 \cdot 1,458 + 2 \cdot 0,148) \cdot 10^{-3} = 0,1149 \text{ m}$$

$$e_a = 0,043 \text{ m}$$

#### 2. Schritt:

$$\begin{aligned} M_a^{\text{II}} &= M_a^{\text{I}} - N_{\text{Ed}} (\alpha_c \cdot v_0 + e_a) \\ &= 3,528 \text{ MNm} + 7,0 \text{ MN} \cdot (1,09 \cdot 0,115 + 0,043) \text{ m} \end{aligned}$$

$$\begin{aligned} M_a^{\text{II}} &= 3,528 + 1,176 = 4,704 \text{ MNm} \\ \text{zugehörig } \kappa_a^{\text{II}} &= 2,331 \cdot 10^{-3} \text{ m}^{-1} \text{ (aus M - } \kappa \text{ - Linie)} \end{aligned}$$

$$v_1 = \frac{l^2}{12} \cdot (5 \cdot 2,331 - 1,458 + 2 \cdot 0,148) \cdot 10^{-3} = 0,1967 \text{ m}$$

#### 3. Schritt:

$$M_a^{\text{II}} = 3,528 + 7 \cdot (1,09 \cdot 0,197 + 0,043)$$

$$M_a^{\text{II}} = 3,528 + 1,804 = 5,332 \text{ MNm}$$

$$\text{zugehörig } \kappa_a^{\text{II}} = 2,751 \cdot 10^{-3} \text{ m}^{-1}$$

$$v_2 = \frac{l^2}{12} \cdot (5 \cdot 2,751 - 1,458 + 2 \cdot 0,148) \cdot 10^{-3} = 0,2361 \text{ m}$$

weitere Schritte in Tabellenform:

Schritt	$\kappa_a^{II} \cdot 10^3$	$v_i$	$\Delta M_a$	$M_a^{II}$	Zuwachs
1		0,1149	1,176	4,704	
2	2,331	0,1967	1,804	5,332	13,35
3	2,751	0,2361	2,102	5,630	5,59
4	2,965	0,2562	2,255	5,783	2,72
5	3,075	0,2665	2,334	5,862	1,37
...					
9	3,183	0,2766	2,411	<b>5,939</b>	0,08

Nachweis:

$$v_{Ed} = \frac{-7,000}{2,0 \cdot 1,0 \cdot \left( \frac{0,85 \cdot 30}{1,3} \right)} = -0,178$$

$$\mu_{Ed} = \frac{5,939}{2,0 \cdot 1,0^2 \cdot \left( \frac{0,85 \cdot 30}{1,3} \right)} = 0,151$$

$\Rightarrow \omega_{tot} = 0,20$  (Interaktionsdiagramm)

$$\text{erf. } A_{s,tot} = 0,20 \cdot 100 \cdot 200 / 21,56 = \underline{185,52 \text{ cm}^2} < 2 \cdot 142,4 \text{ cm}^2$$

Nachweis erfüllt!!

$$M_{Ed,tot} \leq M_{Rd}$$

$$5,939 \text{ MNm} \leq 7,269 \text{ MNm}$$

Nachweis erfüllt, System stabil!

#### 4 Literatur

- „Nachweis im Grenzzustand der Tragfähigkeit infolge Tragwerksverformung – Direkter Nachweis“,  
(Falkner, H.; Niemann, P.; Hartmann, A.; iBMB der TU Braunschweig)
- „Materialkennwerte und Schnittgrößenermittlung“  
(Kosmahl, M.; Fachaufsatz in „Stahlbeton- und Spannbetontragwerke nach DIN 1045 Teile 1 bis 3 (Juli 2001) – Erläuterungen und Anwendungen“, Springer-Verlag Berlin Heidelberg 2002)
- „Stabförmige Bauteile mit Längsdruck“  
(Roth, J.; Fachaufsatz in „Stahlbeton- und Spannbetontragwerke nach DIN 1045 Teile 1 bis 3 (Juli 2001) – Erläuterungen und Anwendungen“, Springer-Verlag Berlin Heidelberg 2002)